

§ 14. Die Exponentialabbildung

(M, g) Riem. Mfkt; $p \in M$; $v \in T_p M$

$\gamma_v : [0, I_{\max}(v)) \rightarrow M$ eindeutig bestimmte Geodätische s.d.

- $\gamma_v(0) = p$; $\dot{\gamma}_v(0) = v$

- $I_{\max}(v)$ maximale Existenzzeit, dh.

Geodätische zur maximalen Lösung von $\frac{D\dot{\gamma}^{\#}}{dt} = 0$ fortgesetzt. (Das Intervall ist halboffen!)

Definition 14.1 $U_p := \{v \in T_p M \mid \gamma_v(1) \text{ existiert, dh } I_{\max}(v) \geq 1\}$

• $U_p \neq \emptyset$, da für $0 \in T_p M$; $\gamma_0(t) = p$ unendliche Existenzzeit hat.

• U_p ist sternförmig, dh falls $v \in U_p \Rightarrow \alpha v \in U_p$ für $\alpha \in [0, 1]$

denn: DGL $\frac{D\dot{\gamma}^{\#}}{dt} = 0$ bleibt erfüllt auch für $t \mapsto \alpha t$

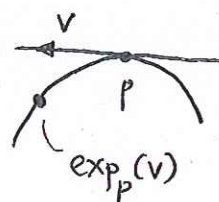
und $\gamma_{\alpha v}(t) = \gamma_v(\alpha t)$ für $\alpha t \in [0, I_{\max}(v)]$.

• U_p ist offen, da Lösungen von DGL's stetig(!) vom Anfangswert $\dot{\gamma}_v(0) = v$ abhängen.

Definition 14.2 Die Exponentialabbildung

• $\exp_p : U_p \rightarrow M$; $v \mapsto \gamma_v(1)$.

• $\exp : \bigcup_{p \in M} U_p \rightarrow M$; $\exp|_{U_p} := \exp_p$.



Geodätische in $SO(n) \subset \mathbb{R}^{n^2} \cong M(n, \mathbb{R})$

mit der aus der Eukl. Norm auf \mathbb{R}^{n^2} induz. Metrik

sind gerade die Abbildungen $\exp(tA)$; $A \in TSO(n)$

Daher die Namensgebung (auch $TSO(n)$ berechnen lassen) und $TO(n)$

Lemma 14.3 (Eigenschaften der Exponentialabb.)

(1) $\exp_p(0) = p$

(2) $\exp_p: U_p \rightarrow M$ ist diffbar

[Lösungen für $\dot{y}(t) = f(y(t))$; $y(0) = y_0$ für f diffbar, hängen diffbar vom Anfangswert y_0 ab]

(3) $D \exp_p|_0: T_0(T_p M) \cong T_p M \rightarrow T_p M$
ist gerade gleich $\text{id}_{T_p M}$.

[$D \exp_p|_0 [v] = \frac{d}{dt} \Big|_0 \exp_p(tv) = \frac{d}{dt} \Big|_0 \gamma_{tv}(1)$

$(\gamma_{\alpha v}(t) = \gamma_v(\alpha t)) = \frac{d}{dt} \Big|_0 \gamma_v(t) = v.]$

(4) \exp_p ist ein lokaler Diffeo, d.h. es ex. $\varepsilon_p > 0$ s.d.

$\exp_p: B_{\varepsilon_p}(0) \rightarrow \exp_p(B_{\varepsilon_p}(0))$
ist ein Diffeo, insbesondere injektiv.

ε -Ball von $T_p M$ wird diffeo morph mit einer off. Umg. auf M ident.

[wegen (3) ist $D \exp_p|_0 = \text{id}_{T_p M}$ invertierbar, daher folgt die Aussage mit dem Umkehrsatz

($f: U \subset \mathbb{R}^n \rightarrow \mathbb{R}^n$ stetig db; $Df(x_0)$ inv-bar, dann ex. offene Umg. $U_\varepsilon(x_0) \subset U$ s.d. $f|_{U_\varepsilon(x_0)}$ Diff.)]

(5) Die Konstante $\varepsilon_p > 0$ kann in einer

kleinen Umgebung von p , vom Fußpunkt

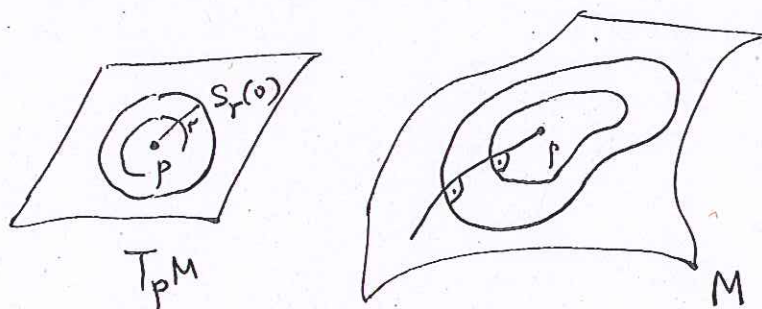
unabhängig gewählt werden, i.e. ~~$\forall p \in M \exists \varepsilon_p > 0$~~

$\forall p \in M \exists \omega_p \subset M, \varepsilon > 0 \forall \tilde{p} \in \omega_p: \varepsilon_{\tilde{p}} \geq \varepsilon.$

[siehe Skript von Böhm]

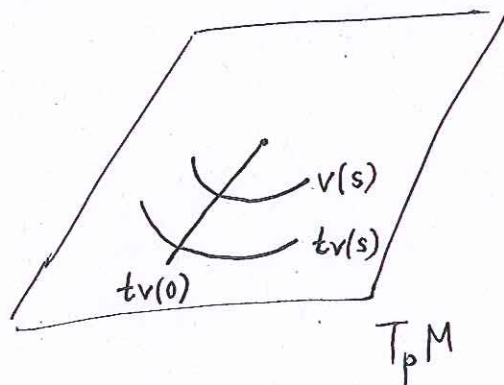
Lemma 19.4 (Lemma von Gauß)

Die von $p \in M$ ausgehenden Geodätischen schneiden im ersten Schnittpunkt die Bilder $\exp_p(S_r(0) = \{v \in T_p M \mid \|v\|_{g_p} = r\})$ senkrecht; $r \in (0, \epsilon_p)$.



[Kurven schneiden sich senkrecht, wenn deren Tangentialv. am Schnittpkt senkrecht sind]

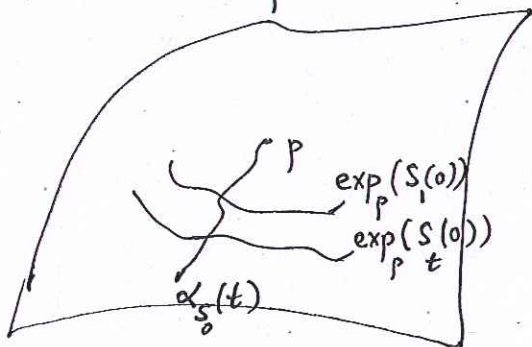
Beweis: sei $v: (-\delta, \delta) \rightarrow T_p M$
diffbare Kurve mit $\|v(s)\| \equiv 1$.



Definiere Schar von Kurven $v(t, s) = tv(s)$

- $t \in [0, r]$ radiale Variable
- $s \in (-\delta, \delta)$ sphärische Variable

Setze $\alpha(t, s) := \exp_p(v(t, s))$



- für alle festen $s_0 \in (-\delta, \delta)$: $\alpha(t, s_0) = \alpha_{s_0}(t)$ ist eine Geodätische.
- für alle festen $t \in [0, r]$: $\alpha(t_0, s)$ ist Teilstück von $\exp_p(S_{t_0}(0))$

(Verallgemeinerte) 1. Variationsformel:

Für beliebige diffbare Kurvenscharen $\alpha_s(t)$, $t \in [a, b]$

gilt:
$$\frac{d}{ds} \Big|_0 L(\alpha_s) = \left\langle \frac{\partial \alpha}{\partial t} ; \frac{\partial \alpha_s}{\partial s}(s=0, t) \right\rangle \Big|_{t=a}^{t=b} - \int_a^b \left\langle \frac{\partial \alpha}{\partial s}(s=0, t) ; \nabla_{\dot{\alpha}_0} \dot{\alpha}_0(t) \right\rangle dt$$

der 2-te Term war in der Vorlesung im Beweis von Satz 13.2 (Kürzeste \Rightarrow geod.) wo die Randterme der partiellen Int (1-ter Term) sich kürzen.

Hier:

•
$$\frac{d}{ds} \Big|_0 L(\alpha_s) \stackrel{\text{Def}}{=} \frac{d}{ds} \Big|_0 \int_0^r \|\dot{\alpha}_s(t)\| dt$$

$$\stackrel{\text{Lemma 4.3 (3)}}{=} \frac{d}{ds} \Big|_0 \int_0^r \underbrace{\|\dot{v}(s)\|}_{\equiv 1} dt = \frac{d}{ds} \Big|_0 r = 0.$$

•
$$\frac{d}{ds} \Big|_0 L(\alpha_s) \stackrel{\text{1. Var Form.}}{=} \left\langle \frac{\partial \alpha}{\partial t}(s=0, t) ; \frac{\partial \alpha}{\partial s}(s=0, t) \right\rangle \Big|_{t=0}^{t=r}$$

$$- \int_0^r \left\langle \frac{\partial \alpha}{\partial s}(s=0, t) ; \nabla_{\dot{\alpha}_0} \dot{\alpha}_0 \right\rangle dt$$

$= 0$, da Geodätische

$$= \left\langle \frac{\partial \alpha}{\partial t}(s=0, t) ; \frac{\partial \alpha}{\partial s}(s=0, t) \right\rangle \Big|_{t=0}^{t=r}$$

$$= \left\langle \frac{\partial \alpha}{\partial t}(s=0, t=r) ; \frac{\partial \alpha}{\partial s}(s=0, t=r) \right\rangle \stackrel{!}{=} 0$$

$\alpha_s(t=0) \equiv p$
ist const ins.

↑
Tangentenvektor
der Geodätische
 $\alpha_0(t)$ im Schnittpunkt
 $t=r$

↑
Tangentenvektor
des Bildes
 $\exp_p(S_r(0))$



Korollar 14.5 Die Exponentialabb. ist eine "radiale Isometrie"

dh. für $v \in U_p$; $\alpha \in \mathbb{R}$ gilt:

$$a) \quad \left\| \mathcal{D} \exp_p \Big|_v [\alpha v] \right\|_{\exp_p(v)} = \|\alpha v\|_p$$

dh. $\mathcal{D} \exp_p$ ist längenerhaltend in die radiale Richtg.

b) für alle $w \in T_p M$ mit $g_p(v, w) = 0$ gilt:

$$\left\langle \mathcal{D} \exp_p \Big|_v [v]; \mathcal{D} \exp_p \Big|_v [w] \right\rangle_{\exp_p(v)} = 0$$

dh. $\mathcal{D} \exp_p$ ist winkelerhaltend (\perp -erhaltend)

Beweis: (a) $\mathcal{D} \exp_p \Big|_v [\alpha v] = \frac{d}{dt} \Big|_0 \exp_p(v + t \cdot (\alpha v))$

$$= \frac{d}{dt} \Big|_0 \exp_p((1+t\alpha)v) = \frac{d}{dt} \Big|_0 \gamma_v(1+t\alpha)$$

$$= \alpha \cdot \dot{\gamma}_v(1) \quad \text{//////}$$

Da Geodätische nach Bogenlänge param. sind

$$\text{gilt: } \|\dot{\gamma}_v(1)\| = \|\dot{\gamma}_v(0)\| = \|v\|.$$

(b) Beweis folgt exakt wie in Lemma 14.4. □

Beachte: $\mathcal{D} \exp_p$ ist in sphärische Richtungen
im Allgemeinen keine Isometrie mehr.

Der Injektivitätsradius

Definition 14.6 $\text{inj}(p) := \sup \{ \varepsilon_p > 0 \mid \exp_p : \mathbb{B}_{\varepsilon_p}(0) \rightarrow \text{Bild inj} \}$
 $\in (0, \infty]$ heißt Injektivitätsradius von
 (M, g) am Punkt p .

(vgl. Lemma 14.3 (9))

$$\text{inj}(M, g) := \inf_{p \in M} (\text{inj}(p)) \in [0, \infty].$$

heißt Injektivitätsradius von (M, g) .

Bemerkung:

a) Um jeden $p \in M$ ex. eine Umgebung $\mathcal{W}_p \subset M$ und $\delta_{\mathcal{W}_p} > 0$ so dass für alle $q \in \mathcal{W}_p$: $\text{inj}(q) \geq \delta_{\mathcal{W}_p}$. Deswegen ist für M kompakt (durch endlich viele solche \mathcal{W}_p 's überdeckbar) $\text{inj}(M, g) \geq 0$.

b) Falls M NICHT KPT, dann kann evtl $\text{inj}(M, g) = 0$.

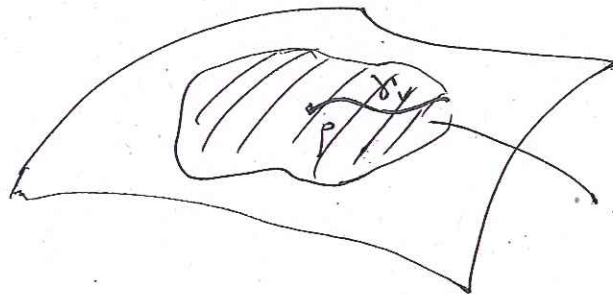
c) Aus der Definition folgt zunächst $\exists \varepsilon \in (0, \text{inj}(p))$:

s.d. $\exp_p: B_\varepsilon(0) \rightarrow \exp_p(B_\varepsilon(0))$ injektiv

Man kann zeigen (evtl später) dass dies auch für $\varepsilon = \text{inj}(p)$ gilt:

dh: $\exp_p: B_{\text{inj}(p)}(0) \rightarrow \exp_p(B_{\text{inj}(p)}(0))$ ist injektiv.

Satz 14.7 Sei (M, g) Riem. MfK, $p \in M$; $v \in T_p M$ mit $\|v\| = 1$. Dann ist $\gamma_v: [0, \text{inj}(p)] \rightarrow M$



hier ist \exp_p injektiv

die (bis auf Umparametrisierung)

eindeutig bestimmte kürzeste zwischen p und $\gamma_v(\text{inj}(p))$.

[Das zeigt: kürzeste \Rightarrow Geodätische (Satz 73.2)

Geodätische $\not\Rightarrow$ kürzeste (Beispiele)

aber: Geod. im Inj-Bereich \Rightarrow kürzeste.

(ohne Beweis)

§ 15. Der Satz von Hopf-Rinow

Ziel: Äquivalente Charakterisierung von (M, d_g) als vollständigen metrischen Raum.

Äquivalenz zu $u_p = T_p M$ an dieser Stelle erläutern (s. 92 oben)

Definition 15.1 (M, g) heißt geodätisch vollständig, falls alle Geodätischen auf ganz \mathbb{R} definiert sind.

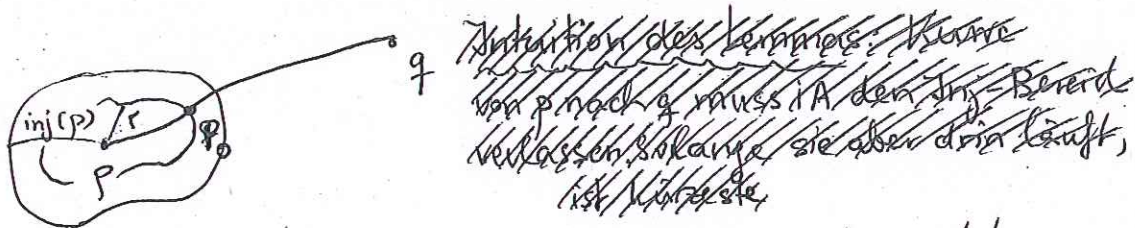
ii) $H = \{(x, y) \in \mathbb{R}^2 \mid y > 0\}$ ← ~~... ist~~

• $g = g^{\mathbb{R}^2}$, dann ist (H, g) nicht geodätisch vollst.

• $g = g^H$; $g^H(x, y) = \frac{1}{y^2} \cdot g^{\mathbb{R}^2}(x, y)$, dann ist (H, g^H) g. vollst.

Lemma 15.2 Sei (M, g) zusammenhängend, $p, q \in M, p \neq q$.
Dann existiert für $r \in (0, \text{inj}(p))$ mit $r < d_g(p, q)$ ein Punkt $p_0 \in \partial B_r(p)$ mit

$$d(p, q) = d(p, p_0) + d(p_0, q) \quad (*)$$



~~Intuition des Lemmas: Kurve von p nach q muss A den inj-Bereich verlassen, solange sie oben drin läuft, ist kürzeste~~

Beweis: $r < \text{inj}(p) \Rightarrow \partial B_r(p) = \exp_p(S_r(0))$ ist kompakt
 $f(u) := d(u, q)$ ist stetig in u und nimmt auf der kompakten Menge $\partial B_r(p)$ ihr Min. an, in p_0 .
Wir zeigen p_0 erfüllt $(*)$

Sei $c: [a, b] \rightarrow M$ stückweise diffbare Kurve $c(a) = p, c(b) = q$
Da $r < d(p, q)$, ex. $t \in (a, b)$ mit $c(t) \in \partial B_r(p)$.

$$\Rightarrow L(c) = \underbrace{L(c|_{[a, t]})}_{\text{wird analog abgedäkt}} + \underbrace{L(c|_{[t, b]})}_{\geq f(c(t)) \geq \min f|_{\partial B_r(p)} = d_g(p_0, q)} \geq d_g(p, p_0) + d_g(p_0, q)$$

Da c beliebig war $\Rightarrow d_g(p, q) \geq d_g(p, p_0) + d_g(p_0, q)$
 Dreiecksungleichung $\Rightarrow d_g(p, q) \leq d_g(p, p_0) + d_g(p_0, q) \Rightarrow "=" \square$

Satz 15.3 Sei (M, g) zusammenhängend. Dann gilt:

- a) Ist für ein $p \in M$ die Exp-Abb \exp_p auf ganz $T_p M$ definiert, so ex für alle $q \in M$ eine Geodätische von p nach q mit $L_g(\gamma) = d_g(p, q)$ (dh in diesem Fall Geod \Leftrightarrow Kürzeste)
- b) Ist (M, g) geod. vollständig, so können zwei beliebige Punkte in M durch eine Geodätische (die gleichzeitig die Kürzeste! ist) verbunden werden.

Beweis: (a) Seien $p, q \in M, p \neq q$.

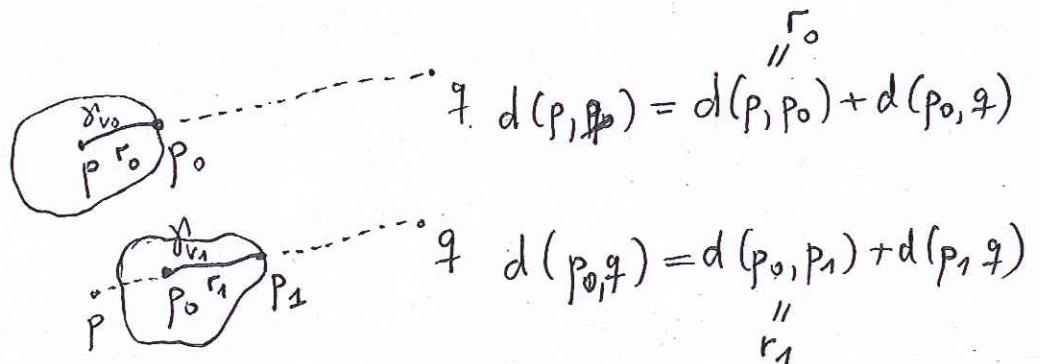
Falls $d(p, q) < \text{inj}(p)$, dh q liegt innerhalb des Inj-Bereichs, und nach Satz 14.7 ex. eindeutige Geodäte γ_v mit $\gamma_v(0) = p, \gamma_v(d(p, q)) = q$, die gleichzeitig die Kürzeste ist, also $d(p, q) = L(\gamma)$.

Sei nun $d(p, q) > \text{inj}(p)$. Nach Lemma 15.3 $\exists p_0 \in \partial B_{r_0}(p)$

für $r_0 \in (0, \text{inj}(p))$ s.d.: $d(p, q) = \underbrace{d(p, p_0)}_{=r_0} + d(p_0, q)$

$d(p, p_0)$ wird durch eine Geodätische γ_{v_0} realisiert, $\|v_0\| = 1$.

Iterativ:



Man denkt, man könnte so iterativ nach q gelangen, aber es ist möglich, dass $\sum_{i \geq 0} r_i < d(p, q)$.

$$\Rightarrow d(p, p_0) + d(p_0, p_1) + d(p_1, q) = d(p, q)$$

$$\leq d(p, p_1) + d(p_1, q)$$

$$\leq \overbrace{d(p, p_0) + d(p_0, p_1)} + d(p_1, q)$$

$$\Rightarrow d(p, p_1) = d(p, p_0) + d(p_0, p_1) = r_0 + r_1$$

dh die kürzeste Verbindung zwischen p, p_1 wird durch $\gamma_{v_0} \cup \gamma_{v_1}$ realisiert.

┌ denn per Konstr-n $L(\gamma_{v_0}) = d(p, p_0)$
 $L(\gamma_{v_1}) = d(p_0, p_1)$ ┘

Da kürzeste keine Knickstellen haben (Kürzest \Rightarrow Geodätische) ist $\gamma_{v_0} \cup \gamma_{v_1}$ ~~die~~ kürzeste Geodätische, glatt

$$\Rightarrow \dot{\gamma}_{v_0}(r_0) = v_1 \mid p_1 = \gamma_{v_0}(r_0 + r_1)$$

Setze nun $I := \{t \in \mathbb{R} \mid d(p, q) = t + d(\gamma_{v_0}(t), q)\}$

- $I \neq \emptyset$ denn mit obigem Argument $r_0, r_0 + r_1 \in I$
- I ist nach oben beschränkt, $\max I \leq d(p, q)$

abgeschlossen und

- $\max I = d(p, q)$, denn falls $\max I \neq d(p, q)$ kann man mit obigem Argument wieder die Geodätische weiter verlängern und erhält $\tilde{r} > \max I, \tilde{r} \in I$ \swarrow

$$\Rightarrow \max I = d(p, q)$$

$$\Rightarrow L(\gamma) = d(p, q) \quad \square$$

K' kompakt $\Rightarrow K = \exp_p(K')$ ebenfalls kpt. \square

(4) \Rightarrow (5): Sei (p_n) Cauchy-Folge in (M, d_g) .

Zzg. sie ~~konvergiert~~ konvergiert in M .

(p_n) Cauchy $\Rightarrow \exists R > 0: \forall n \in \mathbb{N}: p_n \in \overline{B_R^{d_g}(p_1)}$
(dh. Folge ist im R -Ball um p_1 bzgl d_g).

Nach (4) ist $\overline{B_R^{d_g}(p_1)}$ kompakt $\Rightarrow (p_n)$ besitzt konv. TF
 $\Rightarrow (p_n)$ muss selbst konv. \square

(5) \Rightarrow (1): Sei $p \in M, v \in T_p M. \gamma_v: (a, b) \rightarrow M$
 (a, b) max. Existenzbereich, $0 \in (a, b); a, b \in \mathbb{R} \cup \{\pm\infty\}$.

Widerspruchsannahme: $b < +\infty$
 \neq

$\rightarrow q_j := \gamma_v(b - \frac{1}{j})$ ist Cauchy nach Konstruktion.

\Rightarrow wegen (5) konvergiert sie gegen $q_\infty \in M$.

$\rightarrow v_j := \dot{\gamma}_v^{\#}(b - \frac{1}{j}) \in T_{q_j} M; \|v_j\|_{q_j} = \|v\|_p$ (dh nach Identif. kpt)

\Rightarrow Es existiert eine konv. TF v_{j_k} die gegen $v_\infty \in T_{q_\infty} M$ konv.

\rightarrow ~~Widerspruch zu (1) da v_∞ eine Grundvektore $\gamma_{v_\infty}^{\#} \in T_{q_\infty} M$~~

Nach Existenztheorie gewöhnlicher DGL ex. für $v_\infty \in TM$
eine offene Umgebung $\hat{U} \subset TM$ und $\varepsilon > 0$ s.d.

$\forall \omega \in \hat{U}: \text{Geod } \gamma_\omega \text{ ex. auf } (-\varepsilon, \varepsilon)$.

(dh. solange wir Anfangsdaten nur wenig wackeln,
kann man Existenz auf einem festen $(-\varepsilon, \varepsilon)$ garantieren)

Sei $j_0 \gg 0$ groß genug s.d. $v_{j_0} \in \hat{U}$ und $\frac{1}{j_0} < \frac{\varepsilon}{2}$.

Dann ist $\gamma_{v_{j_0}}$ auf $(-\varepsilon, \varepsilon)$ definiert und setzt damit γ_v auf
 $(a, b + \frac{1}{2}\varepsilon)$ fort \checkmark

Widerspruch $\Rightarrow b = \infty$. Analog $a = -\infty$. \square



Korollar 15.5 a) Kompakte Riemannsche MfK
b) Abgeschlossene Unter-MfK (mit induz. g)
(z.B. check Thm 15.4(4)) sind vollständig / geodätisch vollständig.

Korollar 15.6 Sei (M, g) eine vollständige Riem. MfK
und $\gamma_v: \mathbb{R} \rightarrow M$ Geodätische. Dann gilt:

- 1) Existiert keine! Kürzere Geod. zwischen $\gamma_v(a)$ und $\gamma_v(b)$
dann ist $\gamma_v|_{[a,b]}$ Kürzeste. [d.h. γ_v ist auch lokal Kürzeste]
- 2) Existiert eine weitere Geod. γ_w mit

$$\gamma_v(a) = \gamma_w(a) \quad \text{---} \quad \gamma_v(b) = \gamma_w(b)$$

$$\text{und } L(\gamma_v|_{[a,b]}) \geq L(\gamma_w|_{[a,b]})$$

Dann ist für alle $\varepsilon > 0$: $\gamma_v|_{[a, b+\varepsilon]}$

nicht mehr Kürzeste!

[d.h. γ_v ist keine globale Kürzeste,
dieser Begriff nun explizit gemacht]

Beweis: (1) Hopf-Rinow \Rightarrow Es ex. Geod. zwischen $\gamma_v(a)$; $\gamma_v(b)$
die den Abstand realisiert (Satz 15.3(a)).

(2) \textcircled{U} .

\square

§ 16. Jakobifelder

Wir haben gesehen, dass wir mittels der Exponentialabbildung zu einem gegebenen Vektor eine Geodätische in diese Richtung erhalten. Nun wollen wir quantifizieren, wie sich diese Geodätischen ändern, wenn wir den Richtungsvektor variieren.

Intuition pos. Krümmung:  §2

neg. Krümmung



Wir erwarten also, dass die Krümmung eine Rolle spielt!

Def 16.1 (Jakobifelder und Variationen)

a) Ist $c: [0, \ell] \rightarrow (M, g)$ eine Geodätische, so heißt $J \in \mathcal{V}_c$ Jakobifeld (längs c), falls

$$J''(t) = \frac{\nabla}{\partial t} \frac{\nabla}{\partial t} J(t) + R(J(t), \dot{c}(t)) \dot{c}(t) \equiv 0.$$

b) Ist $H: [0, \varepsilon] \times [0, \ell] \rightarrow M$ differenzierbar, so spricht man von einer Variation der Anfangskurve

$$c(t) = H(0, t) \quad t \in [0, \ell].$$

Das Vektorfeld $S = \frac{\partial}{\partial s} H \in \mathcal{V}H$ bzw.

$$S(t) = \frac{\partial}{\partial s} \Big|_{(0, t)} \in \mathcal{V}_c$$

heißt Variationsvektorfeld.

Lemma 16.2 Ist $c: [0, l] \rightarrow M$ Geodätische, so gibt es für alle $(v, w) \in T_p M \times T_p M$, $p = c(0)$ genau ein Jacobi-Feld J längs c mit

$$J(0) = v \quad \text{und} \quad J'(0) = w.$$

Weiterhin ist die Zuordnung $(v, w) \mapsto J(v, w)$ ein Vektorraumisomorphismus.

Beweis. Es sei $X_0, \dots, X_{n-1} \in \mathcal{D}_c$ eine Basis von parallelen Vektorfeldern längs c mit $X_0(0) = \mathcal{R} \dot{c}(0)$ für ein $\mathcal{R} \in \mathbb{R}$ und $g(X_i(0), X_j(0)) = \delta_{ij}$.

Insbesondere gilt damit für alle $t \in [0, l]$ $g(X_i(t), X_j(t)) = \delta_{ij}$.

Ist nun $Y \in \mathcal{D}_c$, so gilt

$$Y(t) = \sum_{i=0}^{n-1} y_i(t) X_i(t), \quad \text{mit } y_i: [0, l] \rightarrow \mathbb{R} \text{ glatte Funktionen}$$

gegeben durch $y_i(t) = g(Y(t), X_i(t))$
für $i = 0, \dots, n-1$.

$$\text{Setze } Y'(t) = \frac{\nabla}{\partial t} Y(t), \quad Y''(t) = \frac{\nabla}{\partial t} \frac{\nabla}{\partial t} Y(t).$$

Es sei $R(t) \in \text{Sym}_n \mathbb{R}$ die darstellende Matrix

$$\text{des Endomorphismus } T_{c(t)} M \rightarrow T_{c(t)} M$$

$$v \mapsto R(v, \dot{c}(t)) \dot{c}(t)$$

bezüglich der Basis $X_0(t), \dots, X_{n-1}(t)$.

Es gilt $R(t) \in \text{Sym}_n \mathbb{R}$, denn wegen

$$\begin{aligned} g(R(v, \dot{c}(t)) \dot{c}(t), w) &= g(R(\dot{c}(t), w) v, \dot{c}(t)) \\ &= g(R(w, \dot{c}(t)) \dot{c}(t), v) \end{aligned}$$

ist R selbstadjungiert.

Es gilt nun: γ ist ein Jacobi-feld genau dann,

wenn
$$\begin{pmatrix} \gamma_0''(t) \\ \vdots \\ \gamma_{n-1}''(t) \end{pmatrix} + \mathcal{R}(t) \begin{pmatrix} \gamma_0(t) \\ \vdots \\ \gamma_{n-1}(t) \end{pmatrix} = 0 \quad (*) \quad \textcircled{ii}$$

Dies ist eine lineare DGL 2. Ordnung und wie immer liefern entsprechende Existenz- und Eindeigkeitsätze die Behauptung. □

Beim 16.3 Da c geodätisch ist, gilt

$$\frac{\nabla}{\partial t} X_0(t) = \frac{\nabla}{\partial t} \mathcal{R}(t) \dot{c}(t) = 0. \text{ Überdies ist } \mathcal{R}(t) \text{ symmetrisch}$$

und damit folgt

$$\mathcal{R}(t) = \begin{pmatrix} 0 & -0 \\ 1 & * \end{pmatrix}.$$

Lemma 16.4 Der Lösungsraum von (*) spaltet auf als

$$\{ \gamma \mid \gamma \in \mathcal{F} \text{ mit } \gamma(t) = \mathcal{R}(t) \dot{c}(t) \} \oplus \{ \gamma \mid \gamma \in \mathcal{F} \text{ mit } g(\dot{c}, \gamma) = 0 \}$$

(2-dim, $\equiv \gamma_{n-1} = \dots = \gamma_{n-2} = 0$) (2(n-1) dim, $\equiv \gamma_0 = 0$).

Mit Bem 15.3 können wir den ersten Summanden auch durch

$$\{ \gamma \mid \gamma(t) = \mathcal{R}(t) \dot{c}(t) \text{ und } \gamma''(t) = 0 \}$$

beschreiben.

Satz & Def 16.5 Wir definieren $\tilde{T}M \subset TM$ als den maximalen

Definitionsbereich von \exp . Es gilt:

- $\tilde{T}M$ ist offen
 - $T_p \tilde{T}M = T_p M \rightarrow \tilde{T}M$ ist sternförmig um 0_p
 - $0_p \in \tilde{T}M$ für alle $p \in M$.
- } siehe 14.1

Schreibweise Für das Differential einer Funktion f schreiben wir auch f_* und entsprechend $f_{*p} = df_p$.

Satz 16.6 (Differential von \exp)

a) Ist $p \in M, v \in \tilde{T}M$, so gilt

$$\exp_{p*} v : T_v \tilde{T}M \cong T_p M \rightarrow T_{\exp_p(v)} M$$

$$w \mapsto \gamma(t) = \exp_{p*} v(w),$$

wobei γ Jacobifeld längs $c(t) = \exp_p(tv)$ ist mit $\gamma(0) = 0, \gamma'(0) = w$.

b) Ist $v \in \tilde{T}M$, so gilt

$$\exp_{*v} : T_v \tilde{T}M \rightarrow T_{\exp(v)} M$$

$$w \mapsto \exp_{*v}(w) = \gamma'(1),$$

wobei $H \in \tilde{T}M$ Kurve mit $H'(0) = w$ ($\leadsto H(0) = v$), γ Jacobifeld

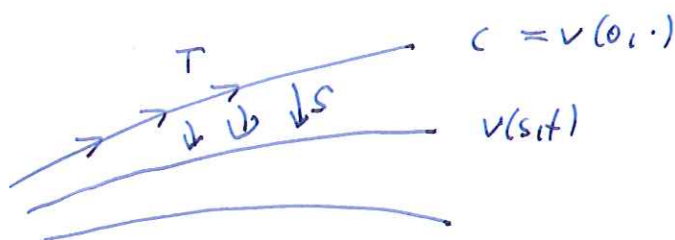
längs c mit $\gamma(0) = \gamma(0)$ und $\gamma'(0) = \frac{D}{ds} H(0)$, wobei $\gamma(s) \in M$ die Projektion (Fußpunktabb!) von $H(s)$ ist, also $H \in \gamma^*$.

Beweis. Es ist also $H(s)$ Kurve in $\tilde{T}M$ mit $H(0) = v, H'(0) = w$,

Damit ist $V(s,t) = \exp(tH(s))$ eine Variation von c und für festes s ist $V(s,t)$ eine Geodätische in M .

$$\text{Sehe: } S(s,t) := V_{*(s,t)} \frac{\partial}{\partial s} = \frac{\partial}{\partial s} \Big|_{(s,t)} V \in T_{V(s,t)} M$$

$$T(s,t) = V_{*(s,t)} \frac{\partial}{\partial t} = \frac{\partial}{\partial t} \Big|_{(s,t)} V$$



Unser Ziel ist die Berechnung von $S(0,1) = \exp_{p,v}(H'(0))$.

Da $v(s,t)$ Geodätische, gilt $\frac{\nabla}{\partial t} T(s,t) = 0$. Also

$$\begin{aligned} 0 &= \frac{\nabla}{\partial s} \frac{\nabla}{\partial t} T(s,t) = \frac{\nabla}{\partial t} \frac{\nabla}{\partial s} T(s,t) + R(s,t)T \\ &= \frac{\nabla}{\partial t} \frac{\nabla}{\partial t} S(s,t) + R(s,t)T \\ &= S''(s,t) + R(s,t)T. \end{aligned}$$

Setze $\gamma(t) = S(0,t)$. Dann gilt $\gamma''(t) + R(\gamma(t), \dot{\gamma}(t))\dot{\gamma}(t) = 0$.

Anfangsbedingung für $\gamma(t)$:

$$\gamma(0) = S(0,0) = \frac{d}{ds} \exp(0, H(s)) = \frac{d}{ds} \gamma(s) = \gamma'(0)$$

$$\gamma'(0) = \frac{\nabla}{\partial t} S(0,0) = \frac{\nabla}{\partial s} T(0,0) = \frac{\nabla}{\partial s} H(0).$$

a) folgt aus dem Allgemeinen Fall, in dem man für H eine Kurve wählt mit $H(t) \in T_p M$ für alle t . □

Wir haben in Satz 11.2 gesehen: In einer Umgebung U von einem Punkt p gilt $R \equiv 0$ genau dann, wenn M in der Nähe von p isometrisch zu \mathbb{R}^n ist. Tatsächlich können wir hierfür \exp benutzen und erhalten folgendes Korollar:

Kor. 16.7 In einer Umgebung von $p \in M$ sind äquivalent:

a) $R \equiv 0$

b) $\forall p \in U \exists \varepsilon > 0$, so dass $\exp_p|_{B_\varepsilon(0,p)}$ eine Riem. Isometrie auf das Bild ist

c) $\forall p \in U$ ex. Umgebung V von p in U , $V' \subset \mathbb{R}^n$ und eine Riemannsche Isometrie $\iota: V \rightarrow V'$.

Beweis. a) \Leftrightarrow c) Satz 17.2. Zeige a) \Rightarrow b);

b) \Rightarrow c) ist klar.

Wäre $\varepsilon > 0$ so, dass $\exp|_{B_{\varepsilon}(0_p)}$ ein Diffeo auf das

Bild ist. Sei $v \in B_{\varepsilon}(0_p) \subset T_p M$, $u, w \in T_p M$.

$$g(\exp_{p \times v}(w), \exp_{p \times v}(u)) \quad (\in T_{\exp(v)} M)$$

$$= g(\partial_w(\gamma), \partial_u(\gamma)),$$

wobei ∂_x Jakobiveld längs c mit $\partial_x(0) = 0$, $\partial_x'(0) = x$,

und c ist $c(t) = \exp(tv)$.

Wegen $R \equiv 0$ gilt $\partial_x''(t) = -R(\partial_x, \dot{c})\dot{c} \equiv 0$, somit

ist $\partial_x(t) = tX_x(t)$, wobei $X_x(t)$ Parallele mit $X_x(0) = X$.

$$\Rightarrow g(\partial_w(\gamma), \partial_u(\gamma)) = g(X_w(\gamma), X_u(\gamma)) = g(X_u(0), X_w(0))$$

$$= g_p(u, w).$$

□